

Egyedi molekulák vizsgálata

Bionolekuláris rendszerek vizsgálata

Osváth Szabolcs

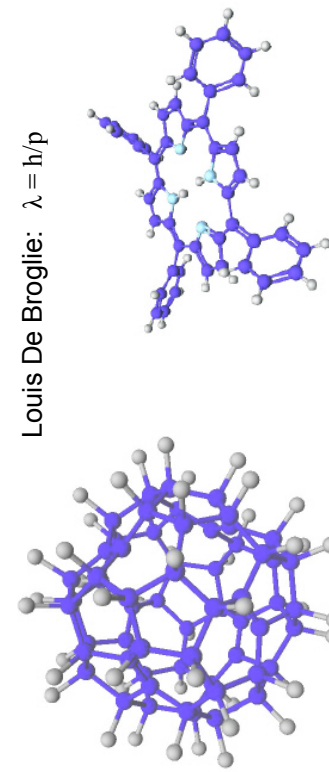
Semmelweis Egyetem
szabolcs.osvath@eok.sote.hu

“Plenty of Room at the Bottom”

"The principles of physics, as far as I can see, do not speak against the possibility of maneuvering things atom by atom. It is not an attempt to violate any laws; it is something, in principle, that can be done; but in practice, it has not been done because we are too big."

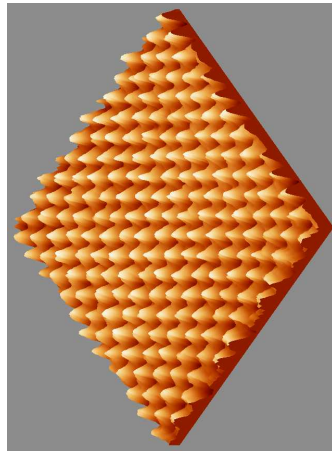
Richard Feynman, 1959

Hullám-részecske kettőssége



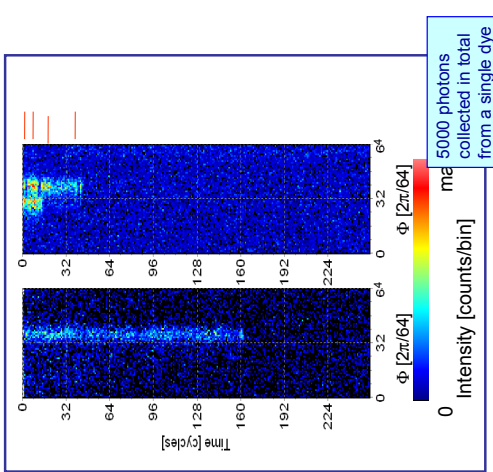
tetraphenylporphyrin $C_{44}H_{30}N_4$
fluorofulleren $C_{60}F_{48}$
1632 Da

Hullám-részecske kettőssége

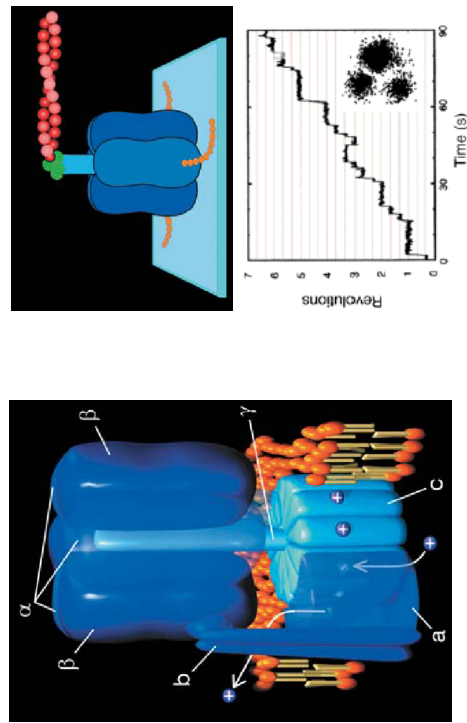


Grafitról készült Pásztázó Alagút mikroszkópi
(Scanning Tunneling Microscope, STM) kép

Egyedi Alexa molekulák kvarc felszínen

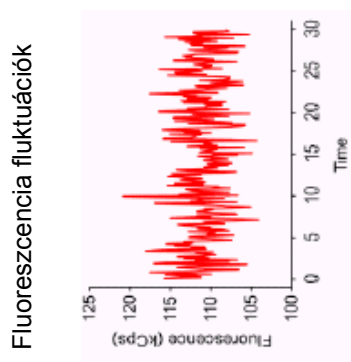
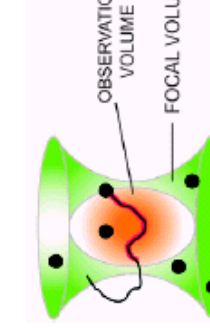


Egyedi F1 motor (ATP szintáz) forgó mozgása



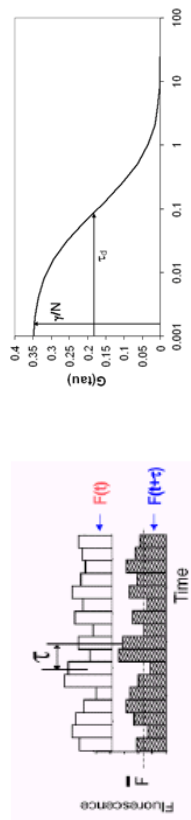
Fluoreszcencia korrelációs spektroszkópia (FCS)

egyensúly körüli fluktuaciók
megfigyeit térfész. fl
koncentráció: 10 nM
molekulák számának időátlaga: 6



Autokorrelációs függvény

$$G(\tau) = \frac{\langle \delta I(t) \delta I(t + \tau) \rangle}{\langle I(t) \rangle^2} = \frac{\langle I(t) I(t + \tau) \rangle}{\langle I(t) \rangle^2} - 1$$



τ_d - a karakterisztikus ideje annak, hogy egy molekula átdiffundáljon a fókusztér fogatban
 γ - a PSF alaki tényezője
 N - a fókusztér fogatban lévő átlagos molekulászám

Mikor mit határozzunk meg

Ligandumkötődés
kis jelölt ligandum+nagy fehérje difuziós állandó

Aggregáció
jelölt fehérjék dimerei fényesség

Koncentráció
pl. nagy aggregátumok számának megállapítása az oldatban
több komponens illesztése, PCH és autokorreláció

Reakciósélesség
autokorreláció illesztésé modellel

Diffúzió a sejt belséjében vagy membránban
autokorreláció a megfelelő modellek illesztve

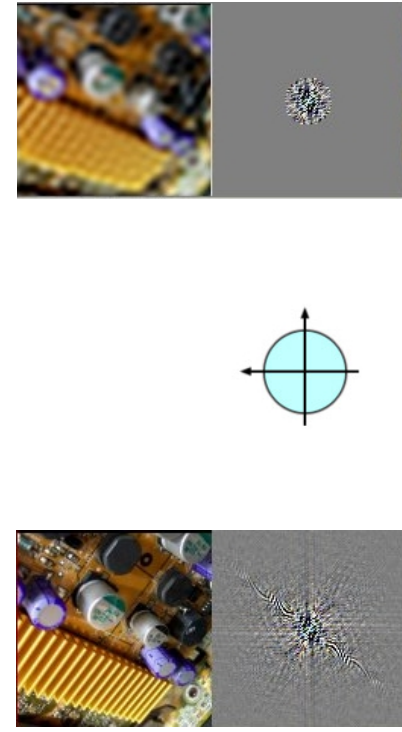
Abbe elv

A mikroszkópban akkor és csak akkor tudunk feloldani két tárgypontot, ha az elhajlott fényhullámból a főmaximumon kívül legalább az első rendben elhajlott fény is részt vesz a képkotkásban.

$$\delta = 0,61 \cdot \lambda / (n \cdot \sin(\alpha))$$

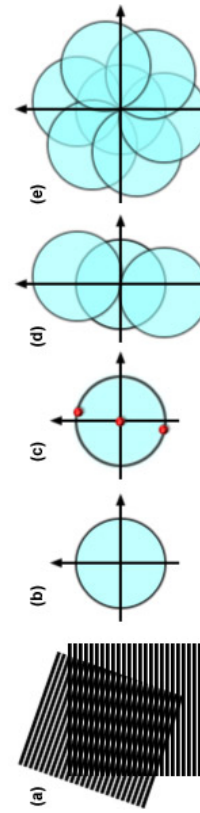
Hallgatólagos feltevések: a minta különböző részeiről egyszerre alkotunk képet; a minta részleteit úgy különböztetjük meg, hogy a róluk jövő fény a létrejövő képben megkülönböztethető képpontokat (foltokat) ad.

Abbe elv a minta térbeli frekvenciái szempontjából



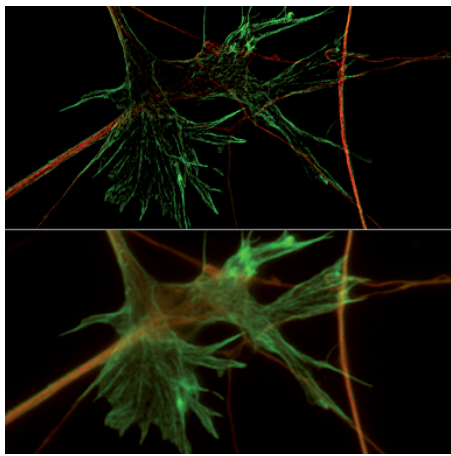
A képen lévő térbeli frekvenciákban a mikroszkóp objektív csak egy szűk tartományt enged át, ami korlátozza a térbeli feloldást.

Strukturált megvilágításos mikroszkóp

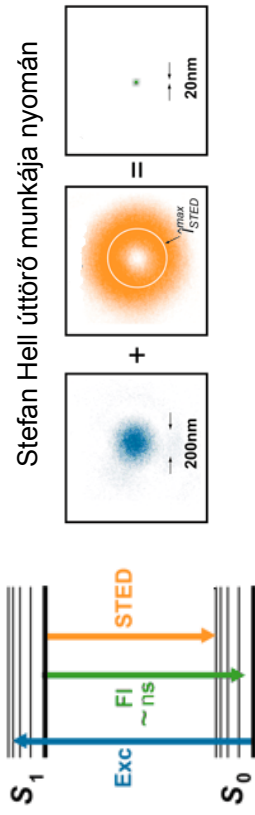


Strukturált megvilágításos mikroszkóp

Hagyományos (bal) és strukturált megvilágításos mikroszkópi kép (jobb) idegsejtekről.



STimulated Emission Depletion (STED) mikroszkóp

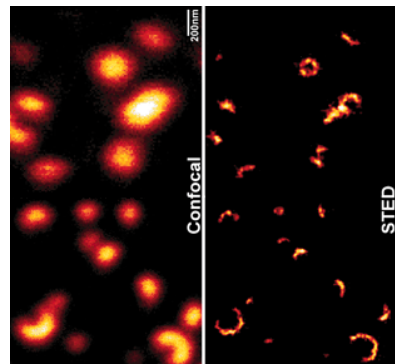


$$\Delta r \approx \frac{\Delta}{\sqrt{1 + I_{max}/I_s}}$$

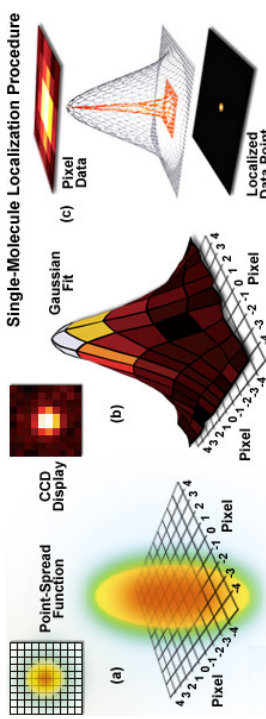
I_{max} a használt maximális STED intenzitás
 I_s a STED telítési intenzitása

STimulated Emission Depletion (STED) mikroszkóp

Szinaptolizin szerveződése az újra-hasznosított szinaptikus vezikulákban.



Lokalizáció



Lokalizáció és kolokalizáció

A PSF illesztése alapján nm pontossággal tudjuk megállapítani a jelölt makromolekula helyét.

Két különböző színű kromofór helyének megállapítása.

A kolokalizáció nem feltétlen jelent kölcsönhatást.

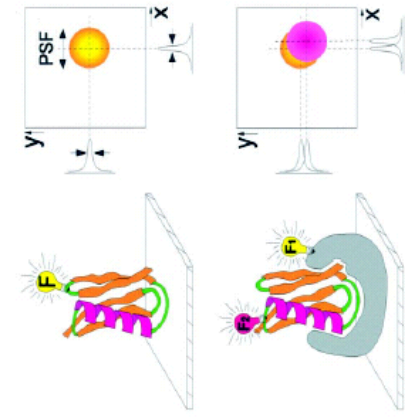


Photo-Activated Localization Microscopy (PALM)

Eric Betzig és Harald Hess találmánya nyomán

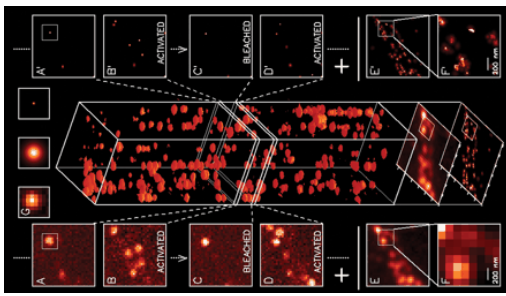
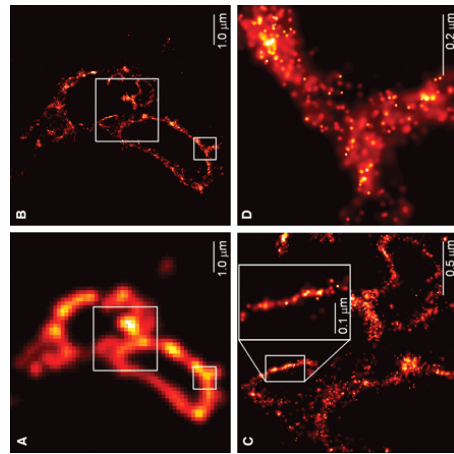
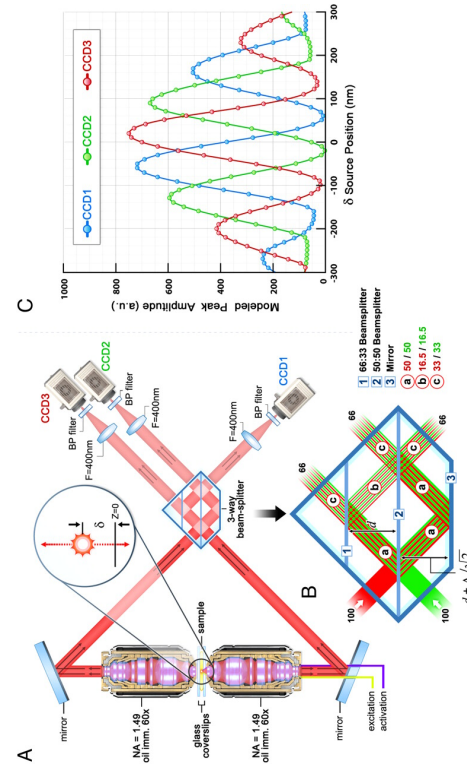


Photo-Activated Localization Microscopy (PALM)

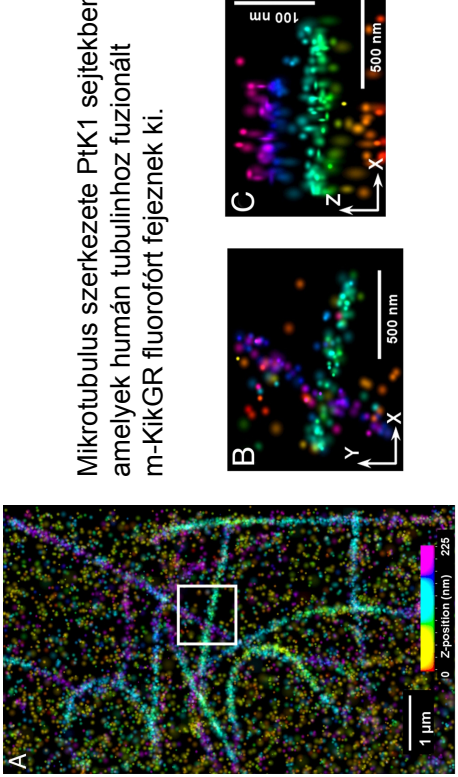
CD63, liszszóma transzmembrán fehérje



Interferometric Photo-Activated Localization Microscopy (iPALM)



Interferometric Photo-Activated Localization Microscopy (iPALM)



Az elektron mint hullám



Louis de Broglie:

$$\lambda = h / p$$

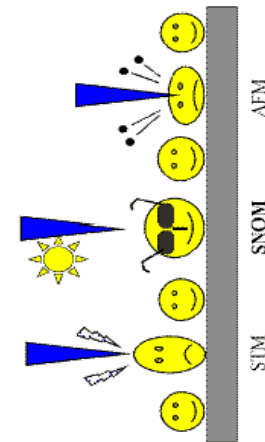
λ az elektron hullámhossza
h a Planck állandó
p az elektron impulzusa

Louis-Victor-Pierre-Raymond,
de Broglie hetedik hercege

Pásztázó tűszondás mikroszkópok

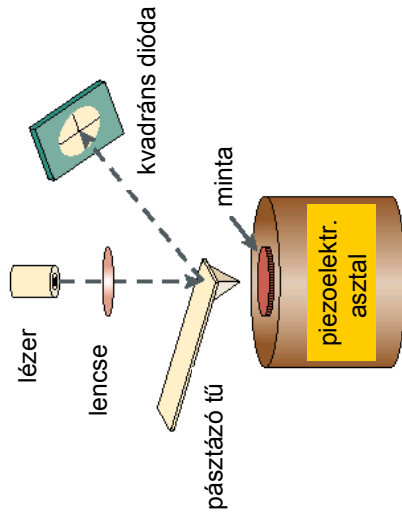
(Scanning Probe Microscopy - SPM)

A mikroszkópok olyan családja, amely a minta felszínének domborzati képet hozza létre. Egy hegyes tűvel pásztázzunk a felszínt és a hegy-minta kölcsönhatást mérjük.



Atomerő mikroszkóp (Atomic Force Microscopy - AFM)

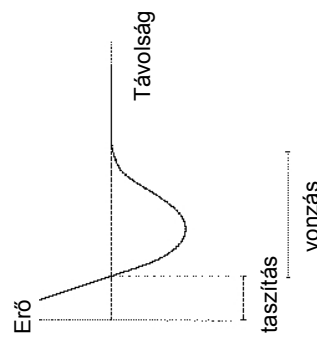
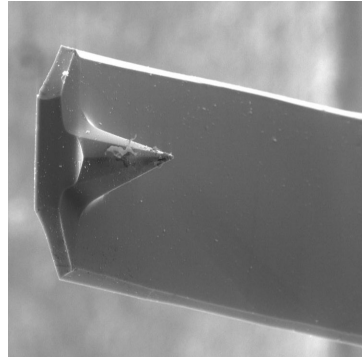
AFM: a mért kölcsönhatás a hegy és minta közötti erő



A tű és a minta közötti erő

A tű jellemzői:

- tipikusan 100 µm hosszú, 1µm vastag, V alakú
- kis rugóállandó
- nagy rezonanciafrekvencia
- szilicium (-oxid, -nitrid)



Contact Mode AFM

A tű és a minta állandó kontaktsban vannak.
A tasztító tartományban dolgozik.
Állandónak tartja az erőt: követi a felszín hullámzását.
A mérőrugó függőleges deformációját detektáljuk.
Lokális erő spektroszkópia: a felület egy adott pontjában az
erő/elmozdulás függvény.

Tapping Mode AFM

A tű 20-100 nm amplitúdójú rezgéseket végez, minden
rezzésnél érinti a felületet.
A rezgési amplitúdó és fázis változik ahogy a felszínen a
kiemelkedések és mélyedések vannak.

Előnyök és hátrányok

Contact Mode AFM

Előny:
gyors pásztázás
atomi felbontás
érdes felületekre jó

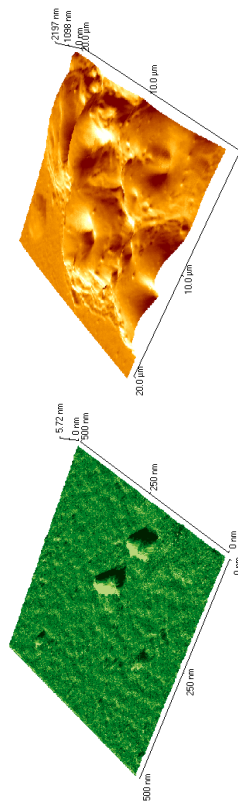
Hátrány:
a vízszintes erők torzítják a képet
torzítás a minta felületén lévő víz miatt
a lágy biológiai mintákat megkarcolja

Tapping Mode AFM

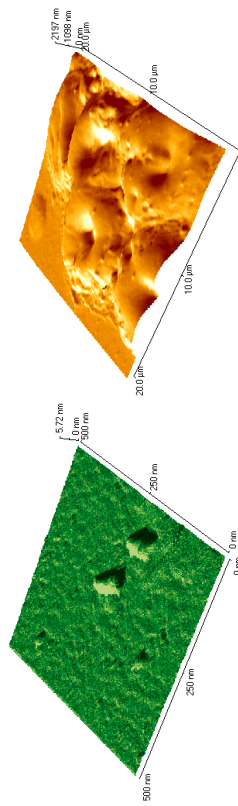
Előny:
nagyobb laterális felbontás (1 – 5nm)
kevésbé teszi törekre a lágy mintákat

Biológiai mintákról készült AFM képek

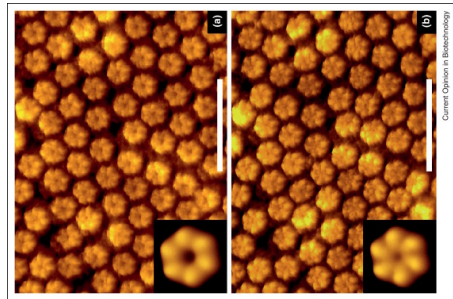
Hősök fehérféjék



Vörös vérsejtek



Extra-celluláris konnexon AFM képe

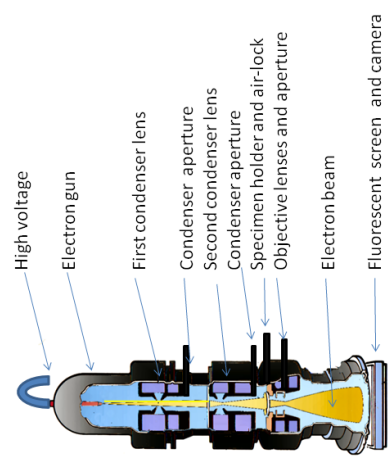


Kalcium-indukált konformációt változás az extra-celluláris konnexon felületén.

A vonal 23 nm hosszú.

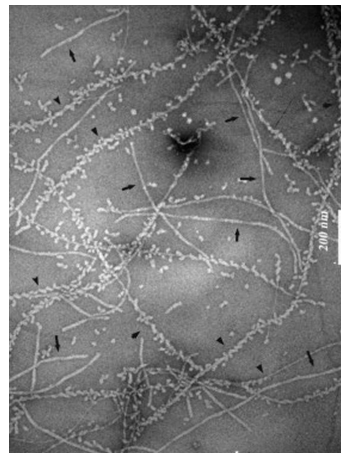
Transzmissziós elektronmikroszkóp

Ruska 1933-ban épített elektronmikroszkópia

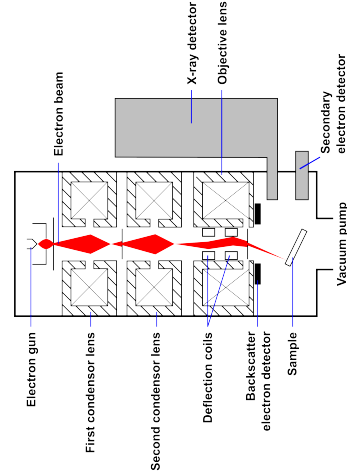


Ernst August Friedrich Ruska és Max Knoll készítették az első elektronmikroszkópot 1931-ben. Ruska 1986-ban Nobel díjat kapott az elektronoptika fejlesztése terén elért eredményeiről.

Amiloid szálak transzmissziós elektronmikroszkópi képe



Koleszterin kötődése
amiloid fibrillumokhoz.



SEM



$p > 609 \text{ Pa}$
 $p \cdot L = 1 \text{ Pa} \cdot \text{m}$

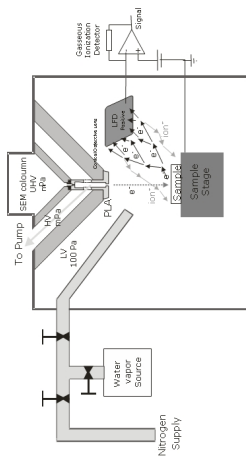
előny:

- hidratált minta
- nem csak vezető minta
- a gáz mint detektor

hátrány:

- a mintatér magassága:
töredék mm < 10 mm
- limitált képterület

ESEM



$p > 609 \text{ Pa}$
 $p \cdot L = 1 \text{ Pa} \cdot \text{m}$

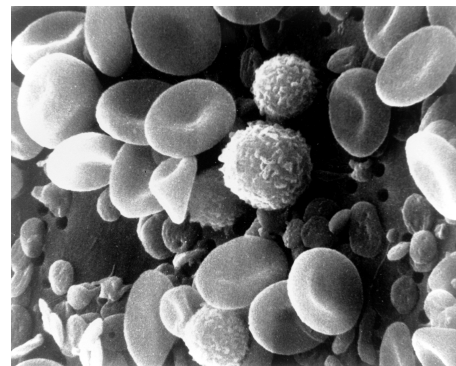
előny:

- hidratált minta
- nem csak vezető minta
- a gáz mint detektor

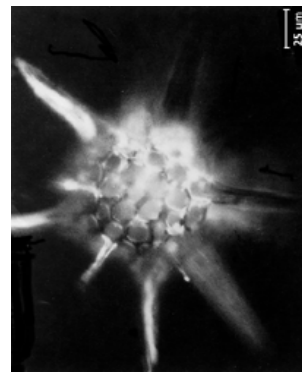
hátrány:

- a mintatér magassága:
töredék mm < 10 mm
- limitált képterület

Vérsejtek pásztázó elektronmikroszkópos képe



Optikai- és elektronmikroszkóp összehasonlítása



- + nagy mélységelesség
 - + nagy felbontás
 - fixált, festett minta
 - vákuumban
- kis mélységelesség
 - alacsony felbontás
 - + élő minta, életfolyamatok
 - + légköri nyomáson